

平行板电容器边缘效应的讨论

莫海歌

边缘效应

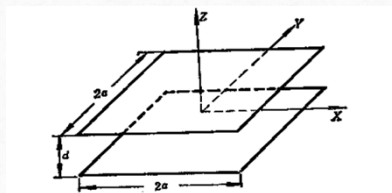
- 电容式传感器极板之间存在静电场，使边缘处的电场分布不均匀，造成电容的边缘效应，这相当于在传感器的电容里并联了一个电容，这就叫边缘效应。
- 不利影响：会引起极板间的电场分布不均，导致非线性问题仍然存在，且灵敏度下降。

问题分析

- 极板为无穷大平面时，电荷分布是均匀的，直接对平面进行积分即可。但是当极板有限时，**电荷就不是均匀分布**的。根据经验，电荷一般分布在尖端处，平缓的地方电荷反而较少。
- 根据一块极板的电势处处相等，可以列出积分方程：

$$V = \iint_{S_{\perp}} \frac{\sigma(x', y')}{4\pi\epsilon_0 \sqrt{(x-x')^2 + (y-y')^2}} dx' dy' + \iint_{S_{\parallel}} \frac{-\sigma(x', y')}{4\pi\epsilon_0 \sqrt{(x-x')^2 + (y-y')^2 + d^2}} dx' dy'$$

- 根据对称性，上下极板对应的**面电荷密度应该相反**。即 $\sigma_{\perp}(x', y') = -\sigma_{\parallel}(x', y')$ 。
- 极板上一点处的电势可通过对上下极板的全电荷积分得到，根据**电势处处相等**的性质，此积分结果设为 V 。
- 原方程是一个积分方程，可以采用矩量法计算其数值解。



方程说明

若非齐次方程

$$L(f) = g \quad (1)$$

式中 L 是线性算子， g 为已知函数， f 为未知函数。令 f 在 L 定义域中被展开为 $f_1, f_2, f_3 \dots$ 的组合：

$$\sum_n \alpha_n f_n = f \quad (2)$$

式中 α_n 是系数，将(2)代入(1)得：

$$\sum_n \alpha_n L(f_n) = g \quad (3)$$

在 L 的值域上定义一个权函数 W_1, W_2, \dots 的集合，并对每个 W_m 取式(3)的内积，则

$$\sum_n \alpha_n \langle W_m, L(f_n) \rangle = \langle W_m, g \rangle \quad (4)$$

式中 $m = 1, 2, 3 \dots$ 此方程组写成矩阵形式： $[L_{mn}] [\alpha_n] = [g_m]$ (5)

$$\text{其中 } [L_{mn}] = \begin{pmatrix} \langle W_1, L(f_1) \rangle & \langle W_1, L(f_2) \rangle & \dots \\ \langle W_2, L(f_1) \rangle & \langle W_2, L(f_2) \rangle & \dots \\ \dots & \dots & \dots \end{pmatrix} \quad (6)$$

$$[g_m] = \begin{pmatrix} \langle W_1, g \rangle \\ \langle W_2, g \rangle \\ \dots \end{pmatrix}, \quad [\alpha_n] = \begin{pmatrix} \alpha_1 \\ \alpha_2 \\ \dots \end{pmatrix} \quad (7)$$

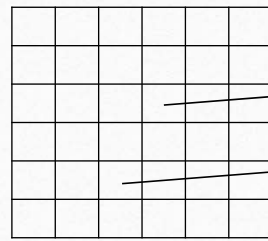
若矩阵非奇异，则存在逆矩阵 $[L^{-1}]$ ，则便为 $[\alpha_n] = [L_{mn}^{-1}] [g_m]$ (8)
F的解由(2)得出。

矩 量 法

- 将待求函数分解成n个基函数之和，即把原函数方程分解成n个方程之和。其中基函数和变换后的函数均已知，只需求n个未知系数。
- 此时可选取n个不同的检验函数对方程求内积，将函数方程转化为普通的代数方程，n个检验函数将产生n个方程，便可以解出n个系数。
- 基函数分为全域基函数和子域基函数：
 1. 全域基函数：收敛快，但往往不事先了解特性，很难找到合适的基函数
 2. 子域基函数：简单灵活，不受未知函数的约束，但收敛较慢，需要更多的分段数。

矩 量 法

- 若检验函数使用狄拉克函数，内积则变成该函数在一点处的取值。
- 实质上就是取函数的定义域内n个点，产生n个代数方程，便可解出n个系数。



设面电荷已知，对其积分，可得到电压

点 匹 配

解题过程

1. 分解面电荷密度函数： $\sigma = \sum \alpha_n f_n$ ，其中 $f_n = \begin{cases} 1 & \text{在 } \Delta S_n \text{ 内} \\ 0 & \text{在其他 } \Delta S_m \text{ 内} \end{cases}$ 。
2. 分解积分方程中的 σ ： $v = L_t \left(\sum \alpha_n f_n \right) - L_b \left(\sum \alpha_n f_n \right) = \sum (L_t(f_n) - L_b(f_n)) \alpha_n$ ，得到一个含有n个未知量的新方程。
3. 代入n个点坐标，产生n个方程，并计算出这些方程的系数。
4. 根据方程解出 α_n ，此即为 σ 在区域 ΔS_n 内的值。

- f_n 只在相应的块 ΔS_n 内定义为1，其余为0。故

$$L_t(f_n) = \iint_{S_{\pm}} \frac{f_n(x', y')}{4\pi\epsilon_0 \sqrt{(x-x')^2 + (y-y')^2}} dx' dy'$$

只在 ΔS_n 内对 $\frac{1}{4\pi\epsilon_0 \sqrt{(x-x')^2 + (y-y')^2}}$ 积分，可近似为

$L_t(f_n) = \frac{\Delta S_n}{4\pi\epsilon_0 \sqrt{(x-x')^2 + (y-y')^2}}$ ，其中 x' y' 已知，为 ΔS_n 的中心坐标。下面对每个分量 f_n 分别代入 ΔS_n 的坐标即可计算出方程系数。

系数计算

- 然而在将 n 个 (x, y) 坐标代入 $L_t(f_n)$ 时遇到了分母为零的情况，原因在于当 (x, y) 的坐标与 f_n 定义域内的 ΔS_n 坐标 (x', y') 相重合时， $\sqrt{(x-x')^2 + (y-y')^2}$ 为零。但显然，此时 $L_t(f_n)$ 表示的是该 ΔS_n 在自身处所产生的电势，应单独计算。

$$\int_{-b}^b dx \int_{-b}^b dy \frac{1}{4\pi\epsilon_0 \sqrt{x^2 + y^2}} = \frac{b \cdot \text{ArcCosh}(17)}{2\pi\epsilon_0} = \frac{2b \cdot 0.8814}{\pi\epsilon_0}$$

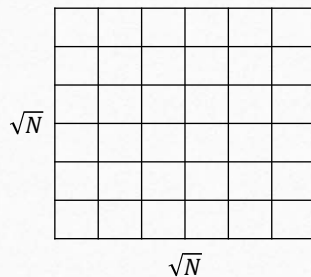
特殊处理

- 同理，当 $d \rightarrow 0$ 时， $L_b(f_n)$ 也会发散，此时也应单独计算，即 ΔS_n 在其上方距离为 d 处产生的电势。简单起见， ΔS_n 用相同面积的圆来近似。结果为

$$\int_0^{\frac{2b}{\sqrt{\pi}}} d\theta \int_0^{2\pi} dr \frac{r}{4\pi\epsilon_0\sqrt{r^2+d^2}} = \frac{-d+\sqrt{d^2+\frac{4b^2}{\pi}}}{2\epsilon_0} = b * \frac{-\frac{d}{b}+\sqrt{(\frac{d}{b})^2+\frac{4}{\pi}}}{2\epsilon_0}$$

特殊处理

- 把正方形平行板分成 $\sqrt{N} \times \sqrt{N}$ 的小块，每块均为边长为 $2b = \frac{2a}{\sqrt{N}}$ 的小正方形。再取得各小块坐标，根据坐标代入前式，算出 L_{mn}^t 和 L_{mn}^b 的项，相减求逆再与 $[g_n]$ 相乘即可得到系数矩阵，也就是各块 ΔS_n 的上的面电荷密度。



编程实现

```

capdoublesquare.m  C_d.m  test.m  +
1  function C=capdoublesquare(a, d, N)
2  n1=sqrt(N);
3  b=a/n1;
4  e1=1e-9;
5  E=1/36/pi*e1;
6  x=zeros(1, n1);
7  y=zeros(1, n1);
8  for i=1:n1
9      for j=1:n1
10         k=n1*(i-1)+j;
11         x(k)=2*(i-1/2)*b-a;
12         y(k)=2*(j-1/2)*b-a;
13     end
14 end
15 ltt=zeros(N, N);
16 ltb=zeros(N, N);
17 for n=1:N
18     for m=1:N
19         if m==n
20             ltt(m, n)=2*b/pi/E*0.8814;
21             ltb(m, n)=b/2/E*(sqrt(4/pi*(d/b)^2-d/b);
22         else
23             ltt(m, n)=b^2/pi/E/sqrt((x(m)-x(n))^2+(y(m)-y(n))^2);
24             ltb(m, n)=b^2/pi/E/sqrt((x(m)-x(n))^2+(y(m)-y(n))^2+d^2);
25         end
26     end
27 end
28 L1=ltt-ltb;
29 L2=inv(L1);
30 Lsum=sum(sum(L2));
31 C=4*b^2*Lsum;

```

程序代码

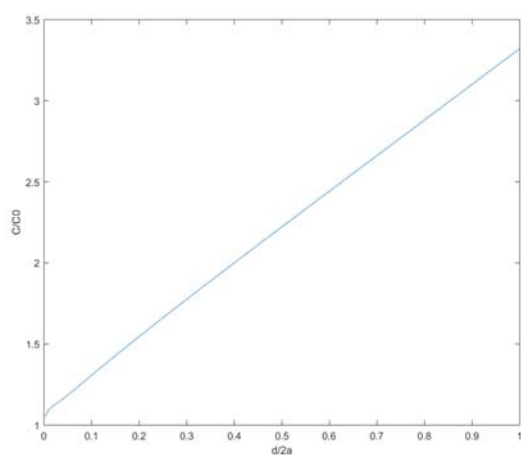
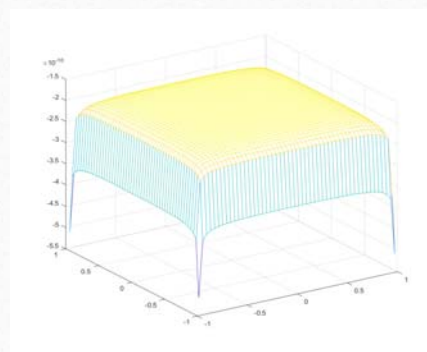
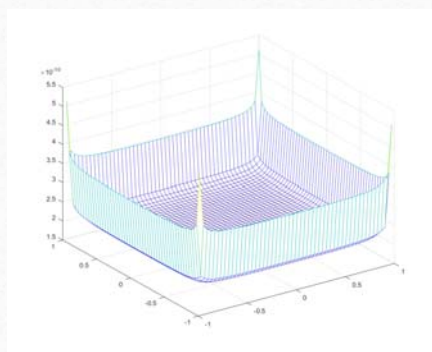
```

capdoublesquare.m  C_d.m  test.m  +
1  C=zeros(1, 20);
2  C0=zeros(1, 20);
3  E=8.85418782e-12;
4  d=(0:0.05:1).^2*2;
5  for i=1:20
6      C(i)=capdoublesquare(1, d(i+1), 2500);
7      C0(i)=4*E/d(i+1);
8  end
9  plot(d(2:end)/2, C);
10 plot(d(2:end)/2, C./C0);

```

程序代码

结果分析



电容趋势

结论

上述推导过程使我对于电容器的边缘效应及其影响有了更深的认识，也给如何减少电容器的边缘效应提供了一些借鉴。

首先尽量增加面积或者减少板间距，以使电容器更加接近无限大的平行板电容。其次由于边缘效应的存在使得电容器的电容值出现偏差，实际使用过程中应该考虑到这一点，进行相应的补偿措施。最后，由于尖端效应导致的电荷大量聚集在边缘和尖角而产生漏电、存在较强的边缘场等问题在应用中应采取相应的防护，或者可以采用圆形平行板电容器降低尖端效应。

谢谢大家